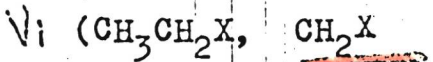


C9H2

M 1520-IV

1965



X = Cl, Br, J



McDevitt N.T., Rozek A.L.,  
Bentley F.F., Davidson A.D.

J. Chem. Phys., 1965, 42, N 4, 1173-1182

Infrared-absorption spectra of  
chlorobromo- and iodoalkanes in the  
400-to  $\sim 100\mu$  region

PX., 1966, 2042 J

PX., 1966, 96200

21225.8560  
Ch, Ph

Ch<sub>2</sub>) (D<sub>29554</sub> см. н) 1972  
XIV 4344

Carpenter J.N., Rimmer D.F., Whiffen  
D.H.

vibrational spectra and assignment of  
iodoacetylene.

"J. Chem. Soc. Faraday Trans.", 1972, Part  
2, 68, N 11, 1914-1917

(англ.)

763 764

859

10

ВИНИТИ

$\text{CH}_2\gamma$

Ommuck 3210

1972

$\text{CHD}\gamma$

Smith D.W

$\text{CD}_2\gamma$

Lester Andrews

Cust. noem., Spectrochim. Acta,  
Ji, 1972, 28A, 493-99.

Anharmonic potential  
functions. . .

1973

CH<sub>2</sub>J  
исследование  
и.и.  
и.и.

24 Б308. Матричный инфракрасный спектр и связывание в моноиодметильном радикале. Smith David W., Andrews Lester. Matrix infrared spectrum and bonding in the monoiodomethyl radical. «J. Chem. Phys.», 1973, 58, № 12, 5222—5229 (англ.)

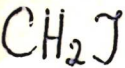
Исследованы ИК-спектры ( $4000\text{--}200\text{ см}^{-1}$ ) продуктов взаимодействия  $\text{CH}_2\text{J}_2$  или  $\text{CH}_2\text{Br}_2$  с атомами  $\text{Li}^6$ ,  $\text{Li}^7$ ,  $\text{Na}$ ,  $\text{K}$  при их соосаждении в аргоновую матрицу при  $15^\circ\text{ K}$ ; обнаружены новые полосы, относящиеся к радикалу  $\text{CH}_2\text{J}$ . Этот результат подтвержден также при исследовании взаимодействия  $\text{CHD}\text{J}_2$  и  $\text{CD}_2\text{J}_2$  со щелочными металлами. Проведено отнесение наблюдаемых полос  $\text{CH}_2\text{J}$ :  $1331\text{ см}^{-1}$  (симм. деф. кол. группы  $\text{CH}_2$ ),  $611\text{ см}^{-1}$  (вал. кол. связи  $\text{C—J}$ ),  $375\text{ см}^{-1}$  (неплоск. кол.). Ряд новых полос, наблюдавшихся в спектре, частота которых зависит от щелочного металла и атома галогена, отнесен к комплексу  $\text{CH}_2\text{J—Me—X}$  (где  $\text{Me}$  — металл,

X. 1973. № 24

X — галоген). Проведен расчёт нормальных колебаний  $\text{CH}_2\text{J}$ . Квартичная потенциальная функция, вычисленная для неплоск. кол.  $\text{CH}_2\text{J}$  несколько отличается от соотв. функций  $\text{CH}_2\text{Cl}$  и  $\text{CH}_2\text{Br}$ ; для нее характерна меньшая ангармоничность. Сил. коэф. вал. кол. связи C—J высок — 2,81 мдин/А, что указывает на наличие  $\pi$ -связывания между C и J.

Я. М. Кимельфельд

1973



11 Д681. ИК-спектр и связь в моноиодометиловом радикале в матрице. Smith David W., Andrews Lester. Matrix infrared spectrum and bonding in the monoiodomethyl radical. «J. Chem. Phys.», 1973, 58, № 12, 5222—5229 (англ.)

По ИК-спектрам поглощения ( $200$ — $4000 \text{ см}^{-1}$ ) доказано существование в аргоновой матрице (при  $15$ — $39^\circ \text{K}$ ) моноиодометилового радикала  $\text{CH}_2\text{J}$  (либо  $\text{CHDJ}$ ,  $\text{CD}_2\text{J}$ ), полученного соосаждением атомов  $\text{Li}$ ,  $\text{Na}$  или  $\text{K}$  с  $\text{CH}_2\text{J}_2$ ,  $\text{CHDJ}_2$ ,  $\text{CD}_2\text{J}_2$  либо  $\text{CH}_2\text{JBr}$ . Обнаружены также полосы мономеров и димеров йодидов щелочных металлов. Выполнено отнесение наблюдавшихся полос и доказано плоское строение моноиодометилового радикала.

Отождествление полос  $1331,6$ ;  $611,5$  и  $374,9 \text{ см}^{-1}$  (для  $\text{CH}_2\text{J}$ ) с симметричным деформационным  $\text{H}-\text{C}-\text{H}$  ( $v_3$ ), сим. валентным  $\text{C}-\text{J}$  ( $v_2$ ) и неплоским деформационным ( $v_6$ ) колебаниям, соответственно, подтверждено колебательным анализом. Высокое значение силовой постоянной связи  $\text{C}-\text{J}$  ( $2,81 \pm 0,04 \text{ мдин/}\text{\AA}$ ) свидетельствует о наличии в  $\text{CH}_2\text{J}$   $\pi$ -связывания.

Библ. 23.

С. Ф. Б.

Сил. ИИС

Х. 1973

№ 11

$\text{CH}_2\text{J}$

Nehara, Yoichi 1973

Saito, Naoshi, et al.

(y)

"Chem. Lett"

1973, (5), 495-9

(eeq.  $\text{CF}_3$ ; III)

50519.2501

90978

1974

Ch, Ph, TC

 $\text{CH}_2\gamma^+ (\gamma) \times 15-8959$ 

Ikuta Shigeru, Yoshihara Kenji, Shiokawa Takanobu. The fragmentation mechanisms in  $\text{CH}_3\text{X}$  interpreted by using the molecular orbital method. "Спектральная химия, Mass Spectrosc.", 1974, 22, N 4, 233-238

(англ.)

0361 ник

348

353

ВИНИТИ

61119.8729  
Ch, Ph, TC

40892

1976

CH<sub>2</sub>I

Х-15-15311

Kroger Peter M., Demou Peter C.,  
Riley Stephen J.

Polyhalide photofragment spectra. I.  
Two-photon two-step photodissociation of  
methylene iodide.

"J.Chem.Phys.", 1976, 65, N 5, 1823-1834

(англ.)

8750 ГНК

706 720 742

ВИНИТИ

CH<sub>2</sub>Y

1977

Ng C.Y.

Report 1976, LBH-5439, 185 pp.  
Avail NTS. From ERDA  
Energy Res. Abstr. 1977,  
2(7), Abstr. No. 18523.

(y)



(cues. 10) III

1979

 $\text{CH}_2\text{I}$ 

(из, изуч)

1.

Н. К. Степанов

9 Д503. Влияние фазового перехода жидкость — кристалл на инфракрасный спектр поглощения иодистого метилена. Харченко Н. П. «Вестн. Киев. ун-та. Физ.», 1979, № 20, 92—97 (рез. англ.)

Исследовано влияние фазового перехода жидкость — кристалл на основные параметры полос поглощения колебаний  $\nu_1$ ,  $\nu_6$ ,  $\nu_7$ ,  $\nu_8$  иодистого метилена. Обнаружено резкое падение интенсивности полосы колебаний  $\nu_8$  и расщепление ее на два компонента в кристалле. Обсуждается природа расщепления. Автореферат

о публ. в

05.04.93 № 9

Ch<sub>3</sub>Y [Lommel et al.] 1980.

Baughman S. L., et al.

J.<sup>1</sup>

(U.K. version) J. Chem. Phys., 1980,  
72 (72), 6531-45.

$\text{CH}_2\dot{\gamma}^+$   
 $\text{C}_3\text{H}_7\dot{\gamma}^+$

1981

Goss S.P., et al.

experiments

J. Chem. Phys., 1981, 75,  
N4, 1820 - 1828.

(see.  $\text{CH}_3\dot{\gamma}^+$ ; III)

CH<sub>2</sub>Y

[Om. 19461]

1984

Andrews L., Dyke J.H.,  
et al.,

Фомози.  
Снекрп

J. Phys. Chem., 1984, 88,  
N 10, 1950 - 1954.